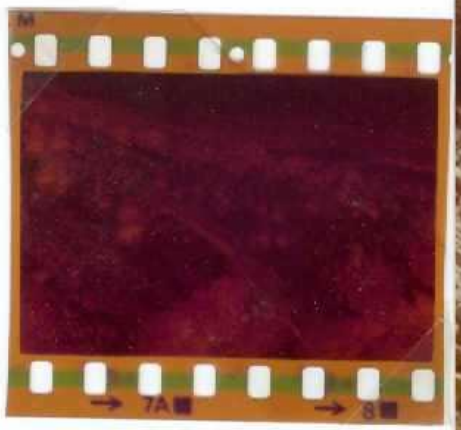




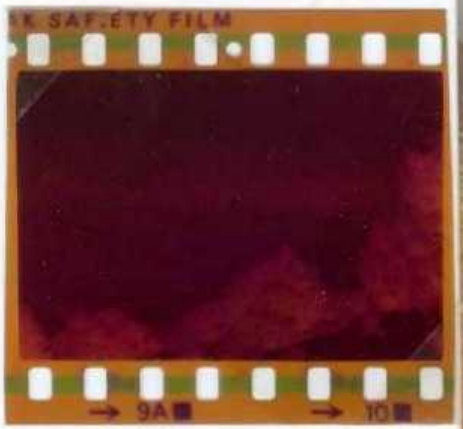
23-38-AD-BA-215

Aspecto de una falla en el Subbético. En primer término calizas y margas del Oligoceno-Aquitaniense. Al fondo - margas verdosas del Luteciense y debajo margo-calizas - rojizas del Cretácico superior-Cuisiense.



23-38-AD-BA-216

Otro aspecto de la misma falla. Obsérvese como los bancos calizos estan cortados por el plano de falla. A la derecha Oligoceno-Aquitaniense. A la izquierda Luteciense. Todo ello en materiales subbéticos.





23-38-AD-BA-220

Al fondo el Jurásico penibético de la Sierra de María. El valle es un anticlinal cuyo núcleo son margas y margo-calizas del Cretácico superior-Cuisiense subbético. Los bordes estan ocupados por margas y calizas del Eoceno-Aquitaniense o por Mioceno superior-Plioceno discordante.



23-38-AD-BA-239

Limos arenosos y areniscas del Mioceno superior en paso a facies "messiniense".





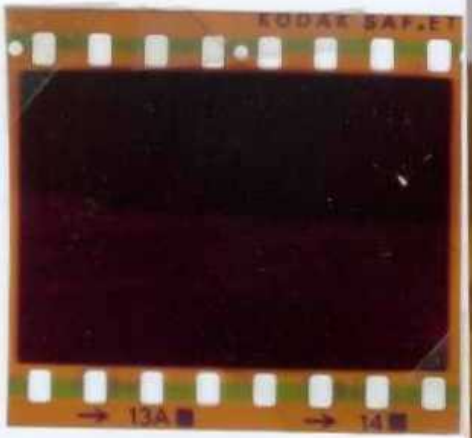
23-38-AD-BA-240

Aspecto de los Conglomerados del probable-Mioceno superior, en paso a facies "messiniense".



23-38-AD-BA-243

Contacto discordante entre el Mioceno superior (limos arenosos blancos) y el Plioceno basal (conglomerados y arcillas rojas).





23-38-AD-BA-245

Contacto discordante entre el Plioceno (a la izquierda) y el Mioceno superior (a la derecha).



23-38-AD-BA-246

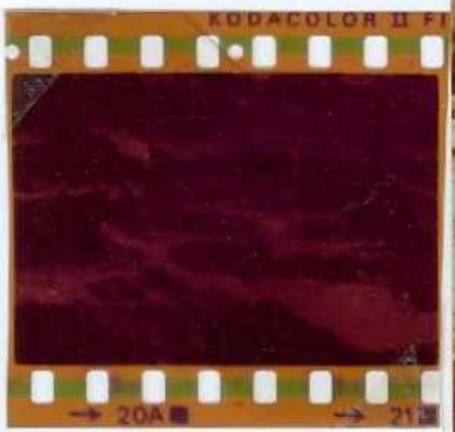
Aspecto del Plio-Cuaternario de la zona occidental. Margas y margas arenosas, con bancos de yeso y calizas. - Culminando la serie la superficie de colmatación.





23-38-AD-BA-247

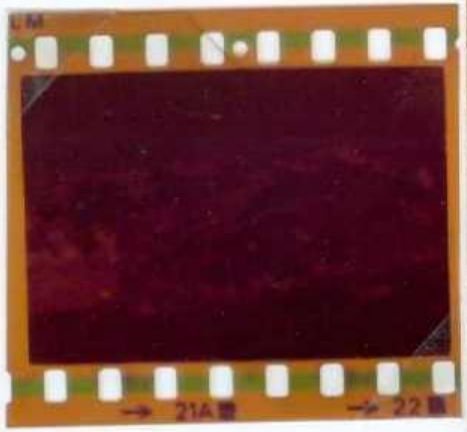
Aspecto de la playa, con conchas de Clino cordium con lo que culmina la serie - plio-cuaternaria en los llanos de Orce.





23-38-AD-BA-251

Detalle de la misma formación anterior.





23-38-AD-BA-254

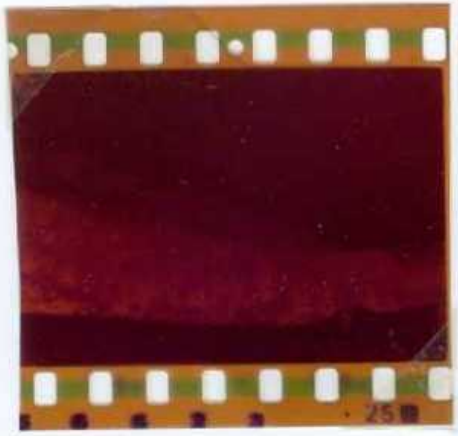
Conglomerados, margas y areniscas del Plioceno, discordantes sobre una caliza también pliocena. Facies de borde en la zona occidental.





23-38-AD-BA-257

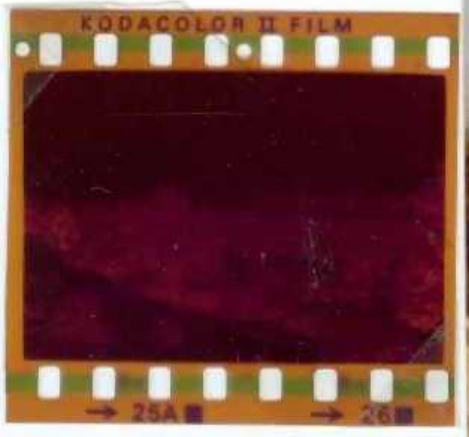
Al fondo las calizas jurásicas del Penibético de la Sierra de María. En primer término manantial en el contacto entre las dolomias liásicas y las margas triásicas - de esta misma serie.





23-38-AD-BA-258

Jurásico penibético de la Sierra de María. En primer término, con pinares, las dolomias. Al fondo calizas oolíticas.





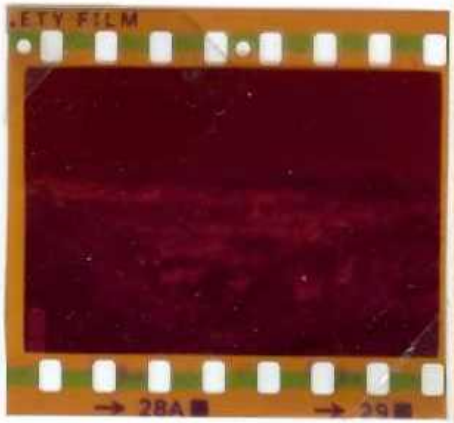
23-38-AD-BA-259

Panorámica de la zona central desde la Sierra de María. Terrenos pliocenos en su mayor parte al fondo. En primer término dolomias y cuaternario.



23-38-AD-BA-262

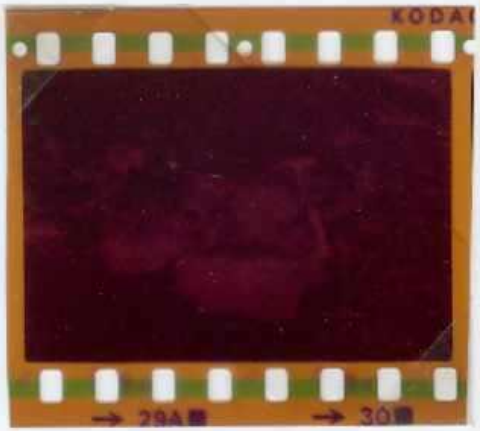
Aspecto de eje de la cuenca plio-cuaternaria en la Hoja de Orce. Margas arenosas, yesos y calizas. Encima el glacis de colmatación.





23-38-AD-BA-263

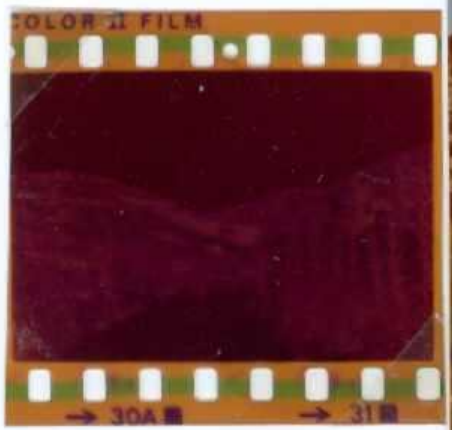
En primer término el pueblo de Orce sobre margas arenosas plio-cuaternarias. Al fondo los mismos materiales - coronados por una playa de origen incierto, aunque parece marina.





23-38-AD-BA-266

Conglomerados de cemento arenoso y cantos de calizas redondeados pertenecientes a la formación pliocena cartografiada como T_2^B. Formación conglomerática superior.





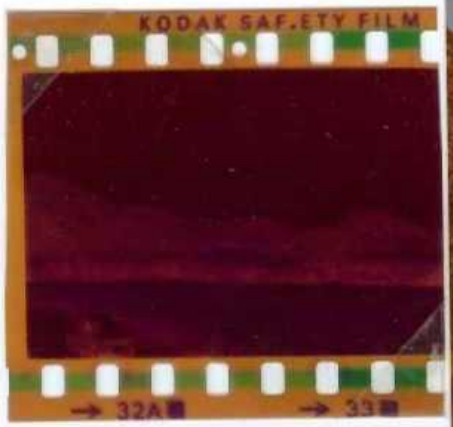
23-38-AD-BA-267

Conglomerados de cemento arcillo-calcareo. Cantos poco redondeados y color rojizo. Pertenecen a la formación-conglomerática inferior pliocena, cartografiada como - $T_2^B g$.



23-38-AD-BA-268

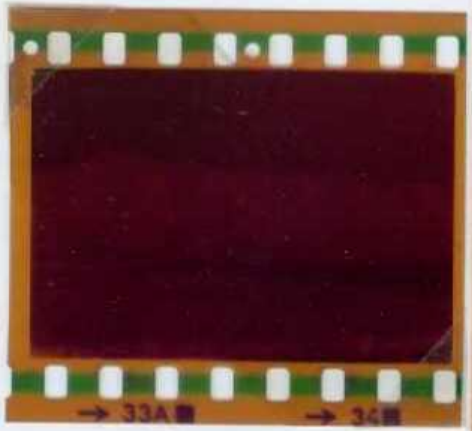
Calizas travertinica incluida en la formación conglomerática inferior del Plioceno. Cartografiadas como $T_2^B tr.$





23-38-AD-BA-269

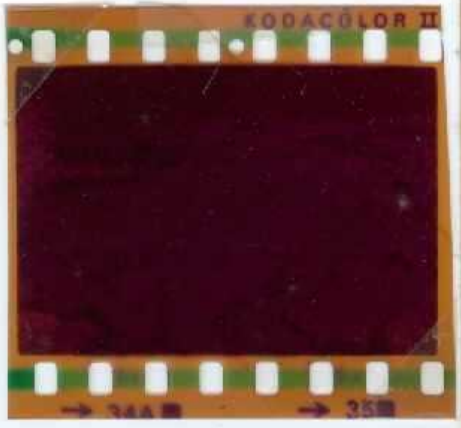
Conglomerados pliocenos (a la izquierda) que se apoyan sobre margas y calizas del Burdigaliense superior-Langhiense inferior.





23-38-AD-BA-270

Dolomias y calizas del Penibético de la Sierra de la Umbría del Campo.

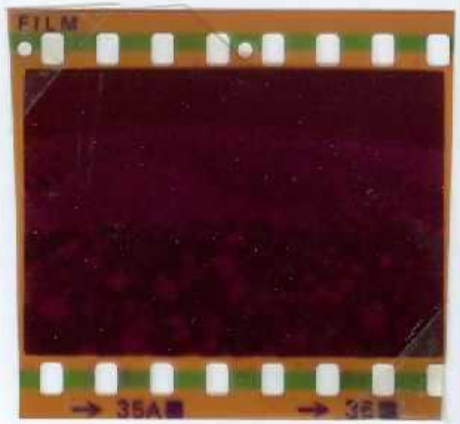




23-38-AD-BA-273

En primer término margas y yesos de la facies "messinien se" del Mioceno superior. Se apoyan sobre las margas blan cas (al fondo) del Burdigaliense superior-Langhiense infe rior. Entre ambos (a la derecha) conglomerados y calizas travertínicas del Plioceno.

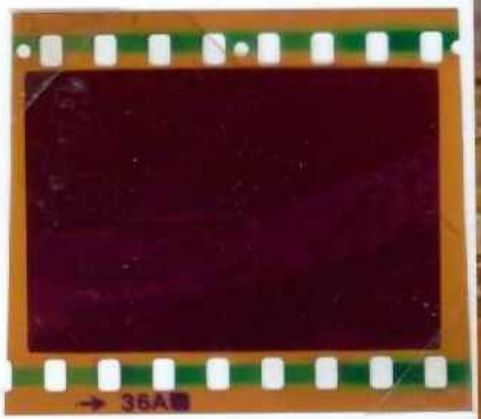
-20951





23-38-AD-BA-283

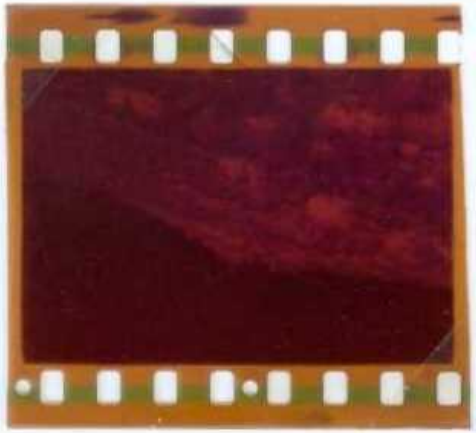
Aspecto de las calizas y margas del Burdigaliense superior-Langhiense inferior.





23-38-AD-BA-285

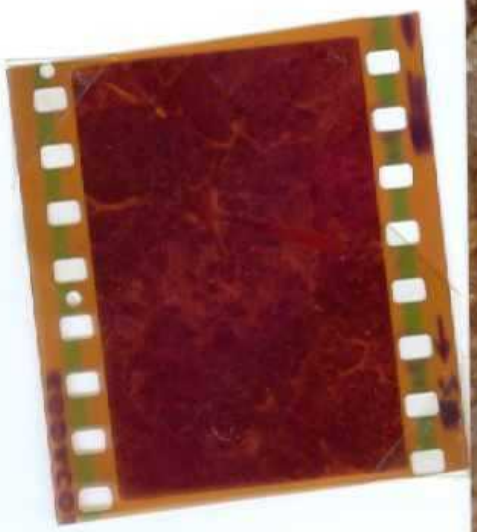
Aspecto parcial de una gran falla moderna. En primer término calizas miocenas. Al fondo el Plioceno. En el centro margas oscuras del Aptiense-Albiense que salen diapíricamente a favor de la falla.





23-38-AD-GU-63

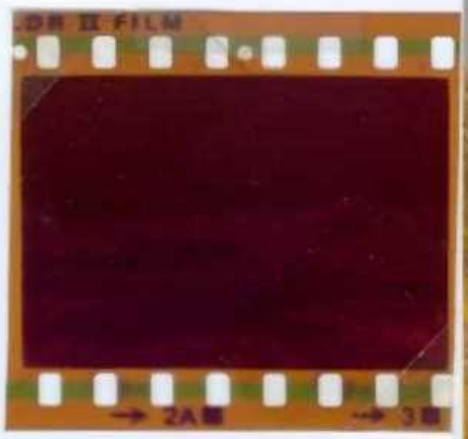
Conglomerados pliocenos, de cantos calizos y cemento calizo-arcilloso que se apoyan sobre Triásico. Posteriormente han sido levantadas por el diapirismo de este Triásico.





23-38-AD-GU-64

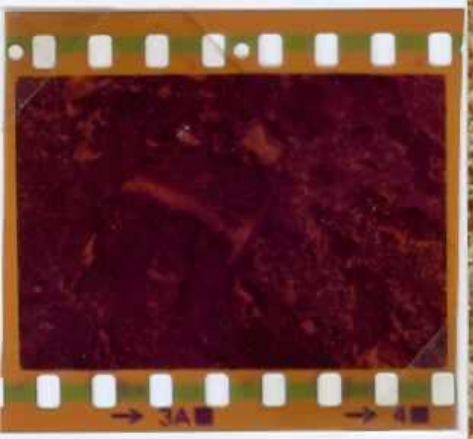
Detalle de los conglomerados anteriores. Cantos calizos heterométricas y poco redondeados. Pertenecen a la formación cartografiada como $T_2^B g$.





23-38-AD-GU-65

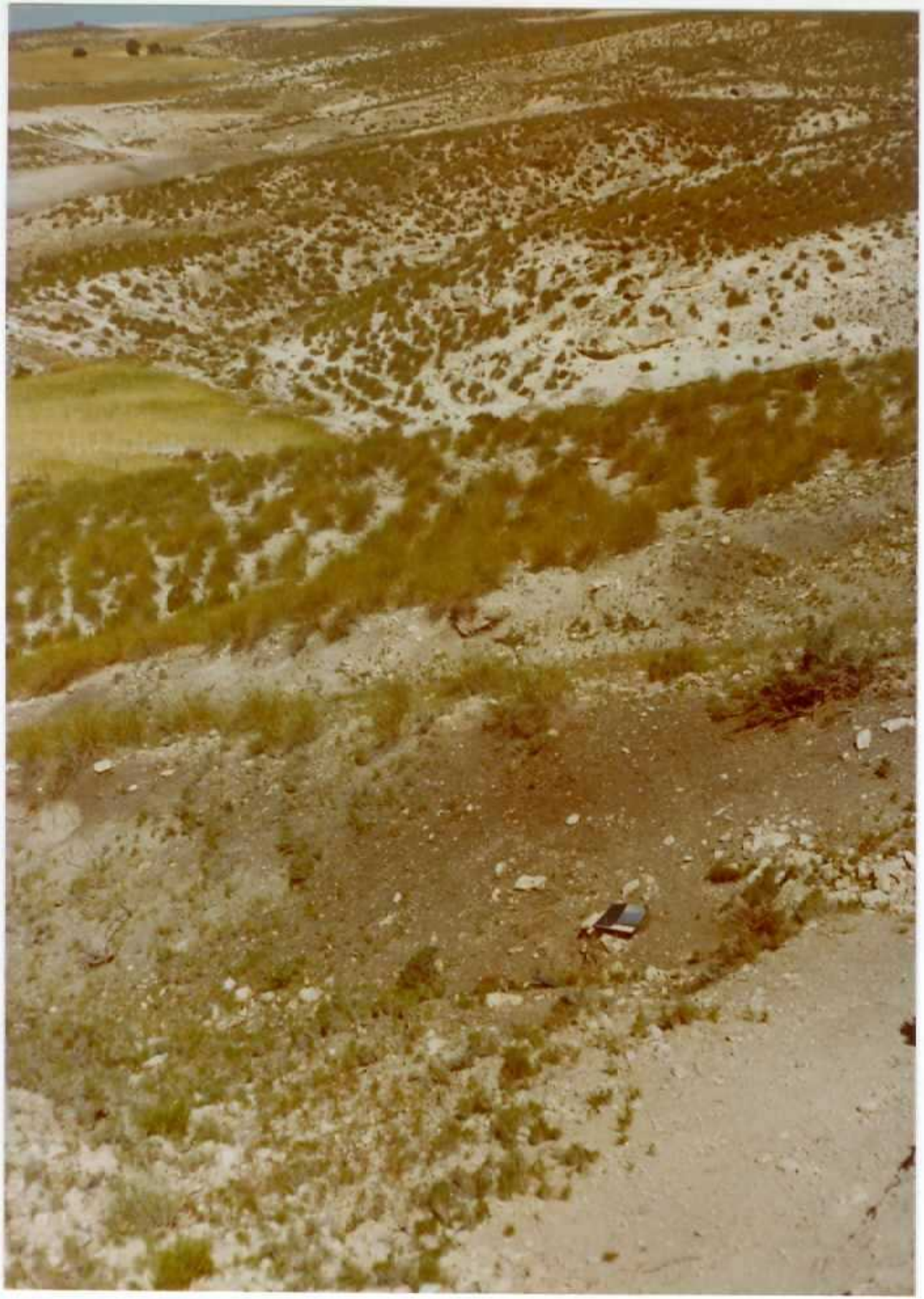
Panorámica de las calizas y dolomias del Jurásico subbético del ángulo NW de la Hoja.

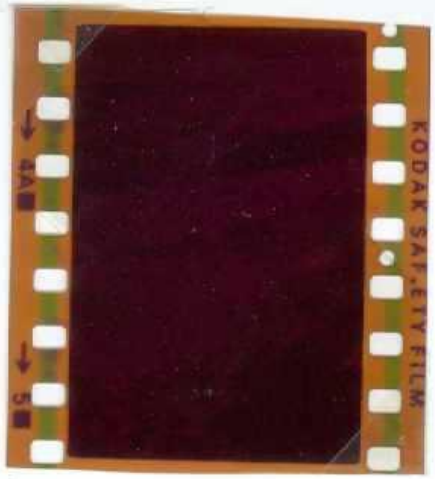




23-38-AD-GU-66

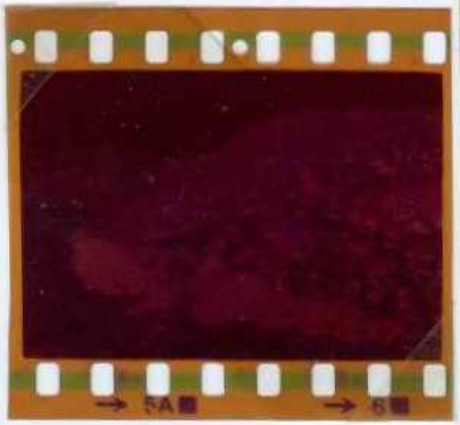
Aspecto de las dolomias brechoides del Liasico inferior subbético.





23-38-AD-GU-67

Intercalaciones de material carbonoso (lignitos) dentro de la formación de limos y limos arenosos $T_2^B S$.





23-38 AD-GU-70

En primer término arcillas del Triásico. Encima conglomerados pliocenos de la formación cartografiada como - $T_2^B g$.